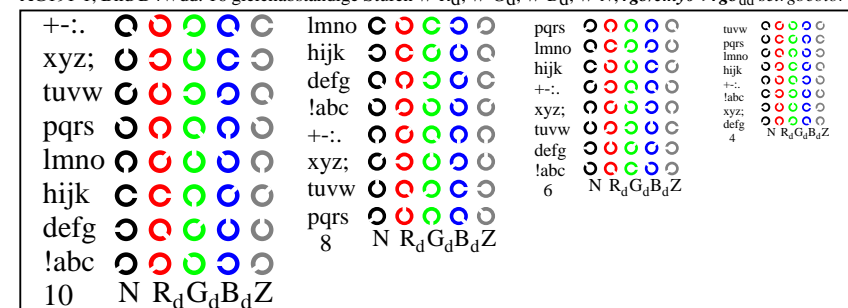
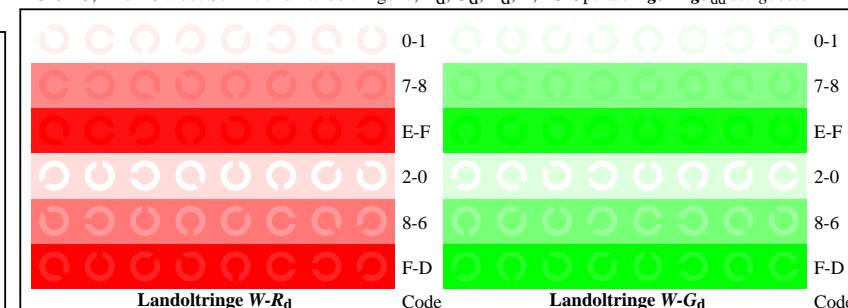


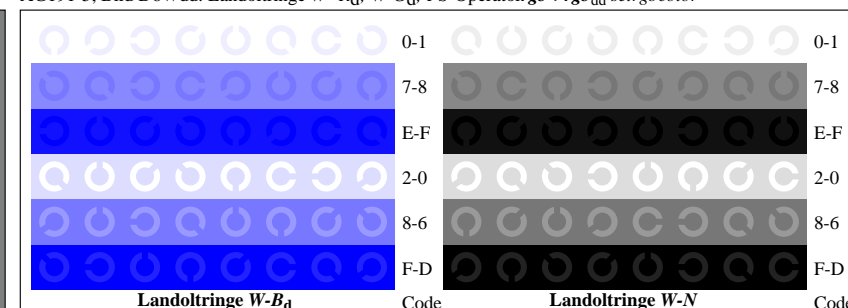
AG191-1, Bild D4Wdd: 16 gleichabständige Stufen  $W-R_d$ ;  $W-G_d$ ;  $W-B_d$ ;  $W-N$ ;  $rgb/cmy0 \rightarrow rgb_{dd}$  setrgbcolor



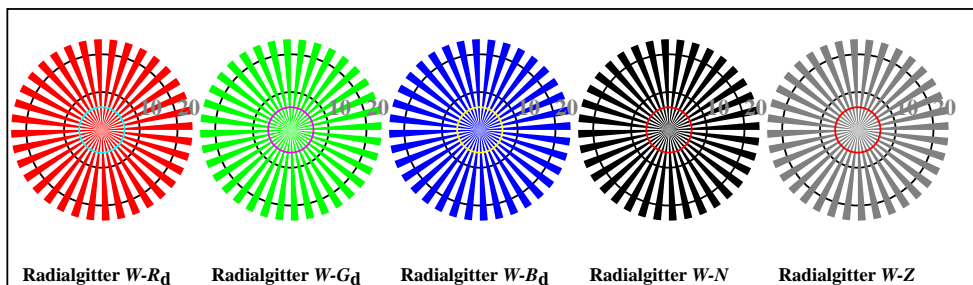
AG191-3, Bild D5Wdd: Schrift und Landoltringe  $N$ ;  $R_d$ ;  $G_d$ ;  $B_d$ ;  $Z$ ; PS-Operator  $rgb \rightarrow rgb_{dd}$  setrgbcolor



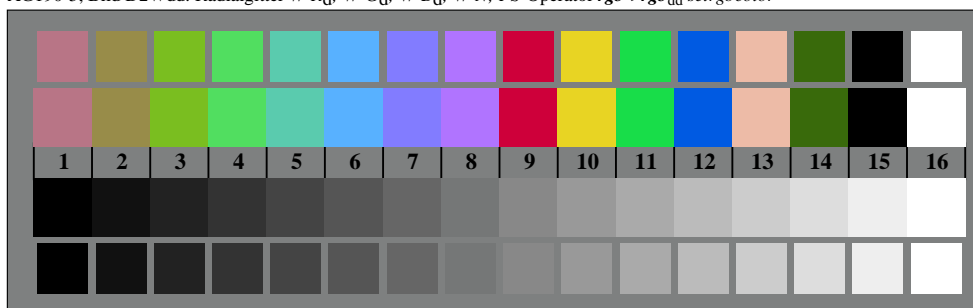
AG191-5, Bild D6Wdd: Landoltringe  $W-R_d$ ;  $W-G_d$ ; PS-Operator  $rgb \rightarrow rgb_{dd}$  setrgbcolor



AG191-7, Bild D7Wdd: Landoltringe  $W-B_d$ ;  $W-N$ ; PS-Operator  $rgb \rightarrow rgb_{dd}$  setrgbcolor



AG190-5, Bild D2Wdd: Radialgitter  $W-R_d$ ;  $W-G_d$ ;  $W-B_d$ ;  $W-N$ ; PS-Operator  $rgb \rightarrow rgb_{dd}$  setrgbcolor



AG190-7, Bild D3Wdd: 14 CIE-Pr ffarben sowie 2 + 16 Graustufen (sf);  $rgb/cmy0 \rightarrow rgb_{dd}$  setrgbcolor

